

بررسی دگرسانی دیاژنیک و گرمابی در توالی آتشفشاری مؤمنآباد (شمال شرق سریشه، بیرجند) و نقش آن در کانی‌زایی غیرفلزی

سحر طربی^{۱*}، محمد هاشم امامی^۲، سروش مدیری^۳ و سید جمال شیخ ذکریابی^۴

^۱دانشجوی دکترا، گروه زمین‌شناسی، دانشکده علوم پایه، واحد علوم تحقیقات، تهران، ایران

^۲دانشیار، گروه زمین‌شناسی، دانشکده علوم پایه، دانشگاه آزاد اسلامی، واحد اسلامشهر، اسلامشهر، ایران

^۳استادیار، دانشکده زمین‌شناسی، پردیس علوم، دانشگاه تهران، تهران، ایران

^۴استادیار، گروه زمین‌شناسی، دانشکده علوم پایه، دانشگاه آزاد اسلامی، واحد علوم تحقیقات تهران، تهران، ایران

تاریخ پذیرش: ۱۳۹۶/۰۸/۲۰

تاریخ دریافت: ۱۳۹۶/۰۸/۲۳

چکیده

منطقه مؤمن آباد در جنوب خاوری سریشه، در زون زمین درز سیستان قرار دارد. بر اساس مطالعات صحرایی، سنگ نگاری، زمین‌شیمیایی و پراش پرتو ایکس در دو توالی آتشفشاری به بررسی شرایط دگرسانی در منطقه پرداخته شده است. بر این اساس بنتونیت‌ها از نوع سدیمی-کلسیمی و ناهمگن می‌باشد. یافته‌های کانی‌شناسی نشان می‌دهد که کانی‌های اسماکتیت، کریستوپلیت و کوارتز، فلدسپارهای قلایی (آلیت و آنورتیت و سانیدین)، ریپس، کلسیت، هماتیت، هولاندیت، کلینوپیلولیت، کافولینیت، آیلیت، و هالیت از پاراژنرهای بنتونیت‌ها هستند. در توالی اول، آثار دگرسانی رسی و اکسید آهن و در توالی دوم، آثار دگرسانی رسی، کربناتی، کلریتی، کلسیتی، آلیتی، سیلیسی شدن و اکسید آهن دیده می‌شود. واحدهای دگرسان شده مربوط به توالی دوم، در چهار لایه شامل پرلیت‌های ریولیتی رگه‌ای، توده‌ای، عدسی شکل و بنتونیت‌های سفید و سیزرنگ و میانبارهایی از داسیت و ریوداسیت با آثار دگرسانی تبلور شیشه آتشفشاری و دگرسانی برتلیت به بنتونیت در نتیجه دگرسانی دیاژنیک است. رسی شدن شدید و سیلیسی شدن می‌باشد. ترکیبات و بافت‌های گذازه‌ای-آذرآواری و تبلور شیشه آتشفشاری و دگرسانی برتلیت به بنتونیت در نتیجه دگرسانی دیاژنیک است. رسی شدن شیشه، تبلور فلدسپارها در واحدهای آتشفشاری، دگرسان شدن پلاژیوکلاز به آلیت+سدیسیت، بیوتیت به کلریت، خمیره سنگ به کوارتز، کلسیت، زئولیت و کلریت در پرلیت‌ها، رگه‌های اکسید آهن و واحدهای قرمز رنگ و تغییر رنگ بنتونیت‌ها در منطقه مرتبط به دگرسانی گرمابی و حضور سیالات و محلول‌های غنی از آهن و منیزیم است.

E-mail: sahartarabi50@yahoo.com

کلیدواژه‌ها: دگرسانی دیاژنیک، بنتونیت، سدیمی-کلسیمی، دگرسانی رسی، مؤمن آباد، بیرجند.

*نویسنده مسئول: سحر طربی

۱- پیش‌نوشتار

بنتونیت‌های نوع دوم بیشتر به صورت توده معدنی عدسی شکل متوسط تا کوچک مقیاس مثل بنتونیت‌های ایتالیا، ترکیه و یونان هستند که بر اثر دگرسانی دیاژنیک و همچنین گرمابی و ثانویه تشکیل می‌شوند (Christidis et al., 1995; Yalçın and Gümüser, 2000; Yıldız and Kuşçu, 2004). Christidis and Huff (2009) بنتونیت‌های ایتالیا، ترکیه و یونان را که می‌باشد: (۱) آبی که در عمق و همراه پیکره ماگمایی وجود دارد و دگرسانی از طریق جریان مایعات، زون‌های شکستگی و یا گسل‌ها اتفاق می‌افتد (Ddani et al., 2005; Yıldız and Kuşçu, 2007) و (۲) منع انرژی از سرد شدن سنگ‌های آذرآواری حاصل می‌شود برای مثال گرمای سنگ‌های آذرآواری و استوک ریولیتی که بر دگرسانی سنگ‌های دیواره مؤثر است (Takagi et al., 2005).

کانسارهای بنتونیتی ایران در شش زون سمنان- ترود، البرز- آذربایجان، خاور ایران، ایران مرکزی، تفرش- تکاب و زاگرس پدید آمده‌اند و در ارتباط با فعالیت‌های آتشفشاری سنوزوییک می‌باشد (حجازی و قربانی، ۱۳۷۳). منطقه مؤمن آباد در خراسان جنوبی و جنوب خاوری بیرجند قرار دارد. این منطقه از نظر موقعیت زمین‌شناسی ایران، بخشی از زون بنتونیتی خاور ایران است (حجازی و قربانی، ۱۳۷۳). در پژوهش‌های صورت گرفته در منطقه خراسان جنوبی، کانی‌زایی بنتونیت را به علت دگرسانی دیاژنیک واحدهای اسیدی تا حد واسطه و به طور ویژه خاکسترها آتشفشاری در یک محیط لاگون مانند دانسته‌اند (نماینده و همکاران، ۱۳۹۱ و ۱۳۹۴). هدف از این پژوهش بررسی تأثیر دگرسانی دیاژنیک و گرمابی در توالی‌های منطقه بر اساس بررسی شواهد صحرایی و میکروسکوپی و مطالعات شیمیایی (XRD) و کانی‌شناسی (XRF) است.

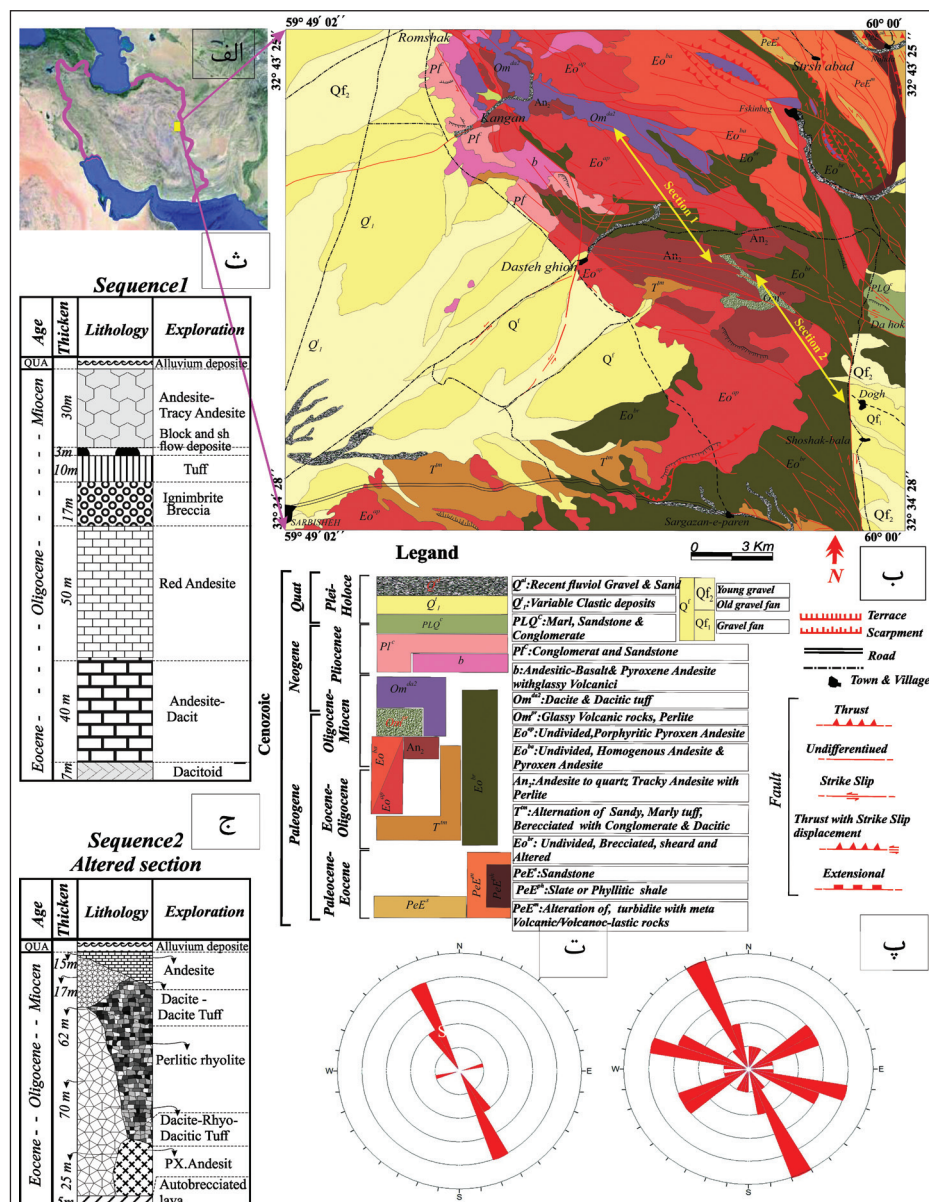
Takagi et al. (2005) به دو نوع بنتونیت سدیمی-سدیمی-کلسیمی با تورم متوسط تا بالا و نوع کلسیمی با ظرفیت تورم کم اشاره کرده است. بنتونیت‌های نوع اول با ساختار لایه‌ای و در مقیاس بزرگ مثل بنتونیت‌های واپیمینگ و موتنا در آمریکا هستند که در نتیجه فرایند دیاژنیک و در اثر تبلور شیشه آتشفشاری، خاکستر، آبدار شدن و تبلور اسماکتیت حاصل شده‌اند (Hosterman and Patterson, 1992). بنتونیت‌هایی که از طریق فرایند دیاژنیک حاصل می‌شوند، اغلب از دگرسانی خاکستر آتشفشاری و تراشه‌های شیشه پخش شده در محیط دریابی کم عمق و یا آب دریا شکل گرفته‌اند (Grim and Güven, 1978; Çiflikli et al., 2013) و به صورت لایه‌ای نازک (Elzea and Murray, 1994) چند سانتی‌متر) و لایه‌های ضخیم دیده می‌شوند (Gomez et al., 2009; Çiflikli et al., 2013) (Christidis and Huff, 2009).

۲- زمین‌شناسی

و پیروکسن آندزیت پور فیری (واحد Eo^{ba} و Eo^{ap}) در مجاورت با سنگ‌های آتشفشنای دگرسانشده و بُرشی شده (واحد Eo^{br}) با گسل خودگی فراوان در منطقه قرار دارند. پریلت رویلیتی الیگومیوسن (واحد Om^{Pr}) شامل شیشه‌های قهقهه‌ای تا سیاه است که در توف‌های محدوده معدن رخمنون دارد. داسیت و توف داسیتی (واحد Om^{da2}) به رنگ سفید تا خاکستری با دگرسانی رسی دیده می‌شود. آندزیت بازالت تا پیروکسن آندزیت (واحد b) به رنگ قهقهه‌ای تیره و سیاه با شیشه آتشفشنای دیده می‌شود. آندزیت‌های بازالتی، بر روی توف‌های سفیدرنگ و واحدهایی مثل T^{im} , Pl^c و Eo^{br} با همبrij دگرگشیب قرار دارند. واحدهای T^{im} , Pl^c و Eo^{br} واحدهای مؤثر در کانی‌زایی بتونیت در منطقه هستند.

بر اساس مطالعات زمین‌ساختی، دو گسل نهبتان و هریرود در مرزهای خاوری و باختری منطقه قرار دارند. سه دسته گسل در منطقه شناسایی شده است: ۱) گسل‌های دارای روند NNNW-SSE، ۲) گسل‌های دارای روند WNW-ESE، ۳) گسل‌های دارای روند NE-SW (شکل ۱-پ، ت) (کاوشگران، ۱۳۹۴).

منطقه مؤمن‌آباد در ۱۵ کیلومتری شمال خاوری سربیشه در استان خراسان جنوبی بین طولهای جغرافیایی $32^{\circ}43'25''$ تا $32^{\circ}49'02''$ و عرضهای جغرافیایی $59^{\circ}49'02''$ تا $60^{\circ}00'00''$ خاوری و عرضهای قرارگرفته است (شکل ۱-الف و ب). بر اساس تقسیم‌بندی واحدهای ساختاری ایران (Stocklin, 1968) و مطالعات Tirrul et al. (1983) Camp and Griffis (1982) Pang et al. (2012 and 2013) در حد فاصل سیستان و بر اساس مطالعات (Stocklin, 1968) Pang et al. (2012 and 2013) در حد فاصل زون زمین‌درز سیستان و بلوک لوت واقع شده است. با توجه به مطالعات زون آذربایجان غربی (Nazari and Salamati, 1999) این منطقه در زون سنجک‌های آتشفشنای با ماهیت کالک‌آلکالن به سن انوسن، الیگومیوسن، پلیوسن و نهشنه‌های آبرفتی به سن کواترنری دیده می‌شوند (شکل ۱-ب). سنگ‌های آتشفشنای دگرسانشده و بُرشی شده (واحد Eo^{br}) با ماهیت حد واسط تا اسیدی در مجاورت واحدهای آندزیت و پیروکسن آندزیت و توف داسیتی قرار گرفته‌اند. سنگ‌های آذربایجان غربی با ترکیب Eo^{br} و برش آتشفشنای در زیر واحد An_2 قرار گرفته‌اند. واحدهای تراکی آندزیتی (واحد An_2) با مورفولوژی خشن در منطقه دیده می‌شوند. سنگ‌های آندزیت



۳- روش مطالعه

به طوری که گاهی فاصله نمونه برداری کمتر از نیم متر بوده است. از بین ۱۵۰ نمونه سنگی برداشت شده، ۱۳۰ نمونه انتخاب و برش نازک میکروسکوپی آنها مطالعه شد. در این بین ۸۵ نمونه بر مبنای شدت و ضعف دگرسانی متفاوت دقیق‌تر مطالعه شدند تا بر این اساس انواع دگرسانی در محدوده مورد مطالعه نیز مشخص شود. ۹ نمونه مورد مطالعه پراش پرتو ایکس (XRD) (جدول ۱) در آزمایشگاه شرکت کانپروه قرار گرفت. ۱۴ نمونه از واحدهای به شدت دگرسان شده، مورد تجزیه شیمیایی (XRF) در آزمایشگاه SGS، آفریقا جنوبی قرار گرفته است. نتایج در جدول ۲ آورده شده است.

طی دو مرحله بازدید صحرایی از محدوده مؤمن‌آباد، پس از بررسی‌های اولیه و شناسایی منطقه با توجه به گسترش وسیع ساختارهای عدسی شکل بتونیتی، در دو توالی گذارهای-آذرآواری نمونه برداری انجام شده است. این نمونه برداری در جهت طولی و عرضی دو توالی بر مبنای شناسایی و تفکیک تغییرات واحدهای سنگی سالم و دگرسان شده و چگونگی ارتباط آنها با یگدیگر و همچنین مشخص نمودن موقعیت سینه کارهای فعل محدوده معدنی مؤمن‌آباد و اطراف آن و چگونگی ارتباط آن با واحدهای سنگی انجام شده است. نمونه برداری و تهیه برش نازک میکروسکوپی در توالی‌های منطقه با فاصله کم و دقت بالا انجام شده است،

جدول ۱- نتایج حاصل از پراش پرتو ایکس (XRD) در بتونیت‌های محدوده معدنی مؤمن‌آباد.

| SAMPLE | |
|--------|---|
| B-04 | Smectite + Cristobalite + Plagioclase Feldspar + Quartz + Mica-Illite, di-Oct. |
| B-07 | Cristobalite + Smectite + Plagioclase Feldspar + Alkali Feldspar + Zeolite (Heulandite &/or Clinoptilolite) + Quartz + Mica-Illite. |
| B-10 | Cristobalite + Smectite (Beidellite ?) + Plagioclase Feldspar + Halite + Mica-Illite, trace. |
| B-12 | Smectite + Cristobalite + Plagioclase + Zeolite. |
| B-85 | Cristobalite + Gypsum + Smectite + Calcite + Plagioclase Feldspar (Albite) + Quartz. |
| B-94 | Smectite + Cristobalite + Plagioclase. |
| BT-27 | Smectite + Plagioclase Feldspar . |
| P-55 | Cristobalite + Plagioclase Feldspar (Anorthite) + Alkali Feldspar (Sanidine) + Smectite + Hematite + Kaolinite + Quartz. |
| V-81 | Cristobalite + Alkali Feldspar (Sanidine) +Mica-Illite. |

جدول ۲- نتایج تجزیه شیمیایی اکسیدهای عناصر اصلی (XRF).

| SAMPLE | WBT-28 | BT-27 | P-51 | P-53 | P-55 | B-85 | V-86 | B-87 | B-90 | P09 | B10 | B-94 | T-46 | P-93 |
|--------------------------------|--------|-------|------|------|-------|-------|-------|-------|------|-------|-------|-------|-------|-------|
| SiO ₂ | 53.6 | 54.3 | 52.8 | 61.9 | 71.6 | 65.2 | 68.3 | 72 | 67.3 | 69.3 | 69.9 | 56.6 | 67.7 | 71.2 |
| Al ₂ O ₃ | 15.3 | 15.8 | 12.2 | 16.7 | 12.95 | 8.88 | 13.4 | 8.57 | 13 | 13.85 | 10.85 | 17.9 | 12 | 13.25 |
| Fe ₂ O ₃ | 3.28 | 4.52 | 4.5 | 4.79 | 1.53 | 1.03 | 1.38 | 1.2 | 2.16 | 1.09 | 1.59 | 3.73 | 1.74 | 1.08 |
| CaO | 3.16 | 4.22 | 8.1 | 2.89 | 0.66 | 5.21 | 1.23 | 3.71 | 3.58 | 1.5 | 0.89 | 1.32 | 3.73 | 0.89 |
| MgO | 3.12 | 2.61 | 3.83 | 1.03 | 0.52 | 0.97 | 0.8 | 0.8 | 1.11 | 0.71 | 1.57 | 2.08 | 0.44 | 0.37 |
| Na ₂ O | 1.62 | 1.94 | 1.46 | 1.88 | 2.44 | 1.51 | 2.65 | 1.53 | 2.75 | 2.96 | 2.09 | 2.55 | 0.96 | 3.41 |
| K ₂ O | 0.91 | 0.53 | 2.83 | 3.67 | 4.86 | 0.74 | 3.18 | 0.53 | 2.17 | 3.35 | 0.42 | 0.29 | 7.02 | 3.97 |
| Cr ₂ O ₃ | 0.01 | 0.01> | 0.01 | 0.01 | 0.01 | 0.01> | 0.01> | 0.01> | 0.01 | 0.01 | 0.01> | 0.01> | 0.01> | 0.01 |
| TiO ₂ | 0.49 | 0.87 | 0.63 | 0.89 | 0.21 | 0.13 | 0.19 | 0.15 | 0.37 | 0.28 | 0.15 | 0.24 | 0.34 | 0.18 |
| MnO | 0.05 | 0.04 | 0.17 | 0.1 | 0.01 | 0.02 | 0.02 | 0.09 | 0.06 | 0.02 | 0.01> | 0.01 | 0.09 | 0.02 |
| P ₂ O ₅ | 0.09 | 0.07 | 0.17 | 0.25 | 0.03 | 0.05 | 0.03 | 0.04 | 0.09 | 0.06 | 0.03 | 0.02 | 0.09 | 0.02 |
| SrO | 0.02 | 0.03 | 0.01 | 0.01 | 0.01> | 0.02 | 0.01> | 0.01> | 0.01 | 0.01> | 0.01> | 0.01 | 0.01> | 0.01> |
| BaO | 0.02 | 0.02 | 0.02 | 0.03 | 0.03 | 0.01 | 0.02 | 0.01 | 0.02 | 0.03 | 0.01 | 0.01 | 0.01 | 0.03 |
| LOI | 18.3 | 16.75 | 13.6 | 6.73 | 4.06 | 14.25 | 8.78 | 12.2 | 8.66 | 7.02 | 12.85 | 16.25 | 5.24 | 5.11 |

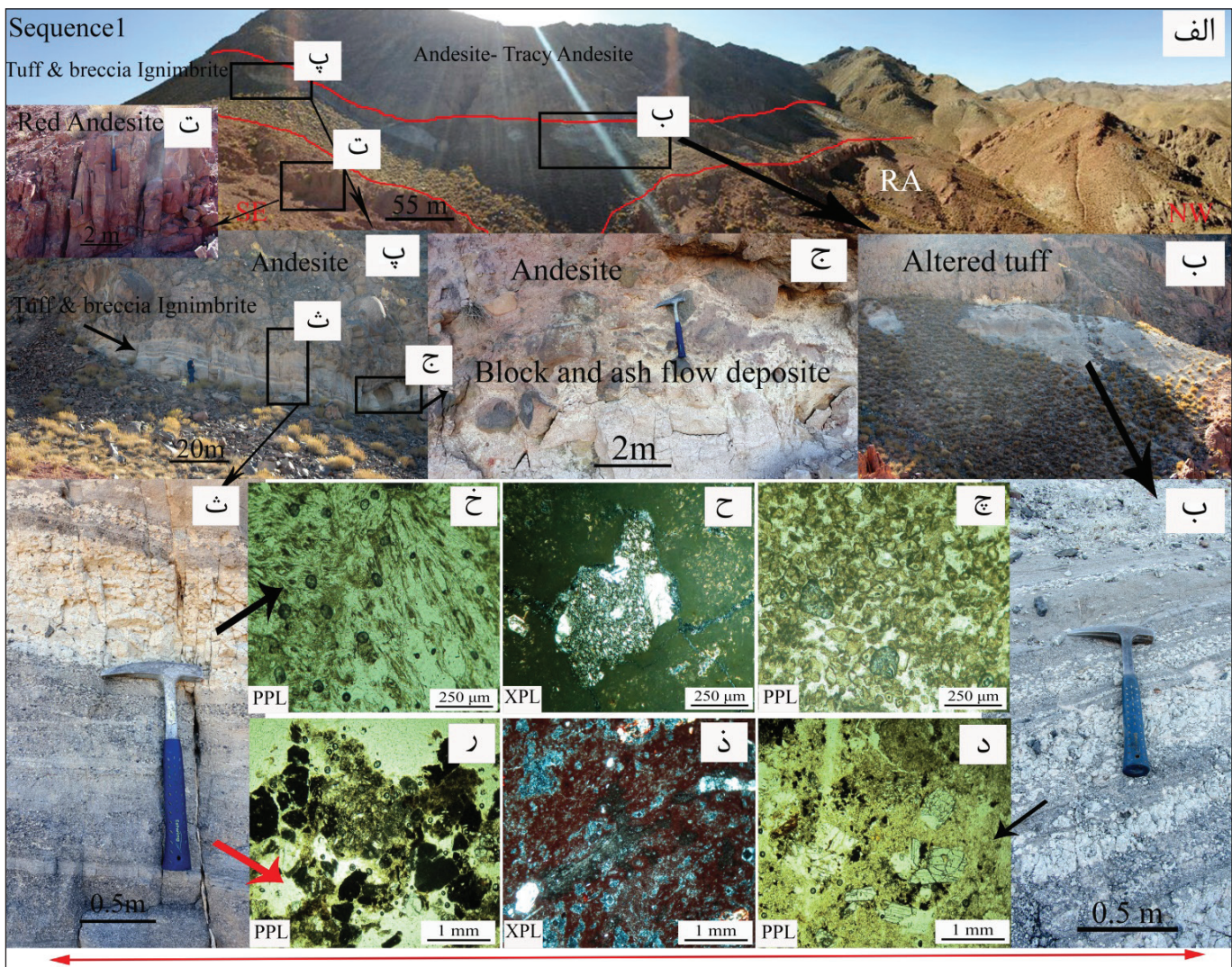
۴- سنگنگاری توالی‌های آتشفسانی منطقه

۴-۱. توالی آتشفسانی یک (Sequence 1)

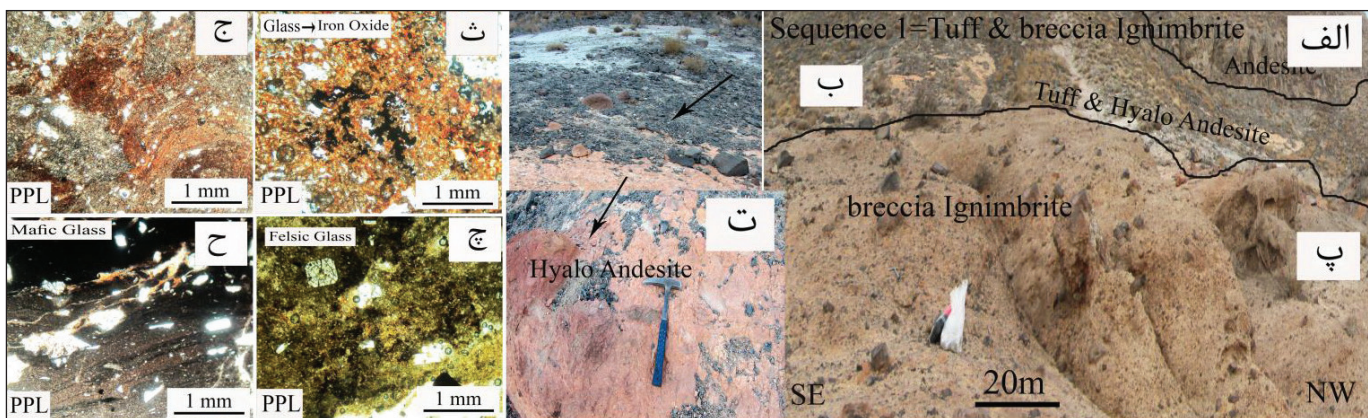
توف‌ها با حالت نواری ترکیب کریستال لیتیک ویتریک توف آندزیتی- داسیتی دارند. کانی‌های تشکیل دهنده شامل کوارتز، پلازیوکلاز و پپروکسن و گاهی فلدسپار قیایی هستند. قطعات لیتیک از نوع، قطعات داسیتی، قطعات آندزیت تا بازالت با شیشه کدر غنی از اکسید آهن، قطعات هیالو آندزیتی و قطعات لیتیک پامیسی است (شکل‌های ۲- ب، ث، د و ر). دگرسانی رسی باشد کم تا زیاد در تمام قسمت‌های شیشه‌ای خمیره توف‌ها دیده می‌شود. سنگ‌های آندزیتی و نهشته‌های هیالو آندزیت با شیشه خمیره غنی از اکسید آهن آثار دگرسانی اکسید آهن و تبدیل شدن شیشه خمیره به اکسید آهن را نشان می‌دهند (شکل‌های ۲- ذ و ۳- ث و ج). سنگ‌های هیالو آندزیت، داسیت و هیالوبازالت‌ها در برش‌های ایگنمبریتی، دارای شیشه‌های مافیک و فلزیک و حدواسط با دگرسانی خفیف رسی هستند (شکل‌های ۳- ج و ح).

- مطالعات صحرابی: موقعیت این توالی در شکل ۱- ب و ث واحدهای تشکیل دهنده آن در شکل ۲ نشان داده شده است. این توالی از پایین به بالا شامل داسیتی‌ید، آندزیت- داسیت، آندزیت‌های قرمز رنگ (RA) غنی از اکسید آهن، توالی نسبتاً ضخیمی از توف و برش ایگنمبریتی، نهشته‌هایی جریانی از خاکستر و بمب و در ادامه آندزیت- تراکی آندزیت می‌باشد (شکل ۲-الف). توف‌ها بر روی برش ایگنمبریتی و نهشته‌های هیالو آندزیت (شکل‌های ۲- ب تا ج و شکل ۳- الف) دیده می‌شوند. برش ایگنمبریتی شامل نهشته‌هایی از هیالو آندزیت به رنگ قرمز روشن (شکل‌های ۳- الف تا ت) و گذاره‌های بُرشی (شکل ۳- پ) است.

- مطالعات سنگنگاری: نهشته‌های جریان بلوك و خاکستر شامل دو بخش بلوكی با ترکیب آندزیتی و خاکستر با ترکیب پامیس لیتکدار (شکل‌های ۲- ج و ح) است.



شکل ۲-الف) نمای کلی از توالی اول؛ ب) توف؛ پ) آندزیت، توف و برش ایگنمبریتی؛ ت) آندزیت قرمز رنگ؛ ب) پامیس کروی با دگرسانی رسی شدید؛ ح) قطعات لیتیک در پامیس توف؛ خ) پامیس کشیده و پهنه شده؛ د) کریستال لیتیک ویتریک توف؛ ذ) آندزیت‌های غنی از اکسید آهن؛ ر) کریستال لیتیک ویتریک توف.

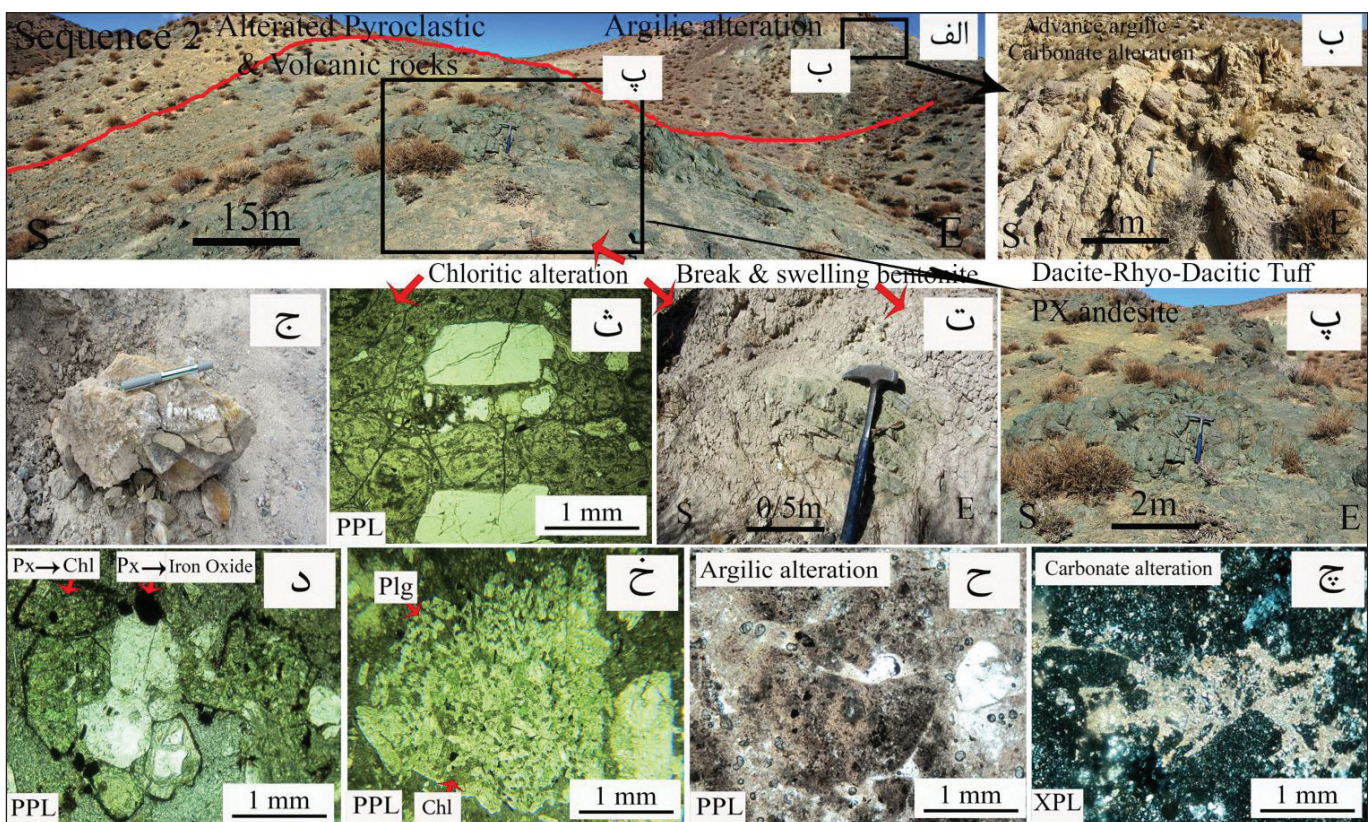


شکل ۳- الف) نمای از رخمنون توف و برش ایگنبریتی مربوط به توالی اول؛ ب) توف و هیالو آندزیت؛ ت) هیالو آندزیت با غنی شدگی از اکسید آهن؛ ج) بخش شیشه اسیدی؛ ح) بخش شیشه بازیک.

واحدهای نیمه دگرسان شده توف و پامیس توف داسیتی- ریوداسیتی با دگرسانی رسی پیشرفت (شکل های ۴- الف و ب) در کنار پیروکسن آندزیت، گدازهای خودبرشی و آندزیت ها رخمنون دارند (شکل های ۴- الف و ب و ۵- الف تا ت). واحدهای پیروکسن آندزیت، دگرسانی کلریتی نشان می دهند (شکل های ۴- الف، پ و ت). گدازهای خودبرشی (شکل های ۵- الف و پ) به صورت گدازهای کشیده شده در پایین ترین ارتفاع قرار دارد. رگه- رگجه های سیلیسی به دو صورت: ۱) رگه- رگجه های سیلیسی با ساختار کنکرسیونی و ۲) نودول هایی از جنس سیلیس در واحدهای گدازهای- آذرآواری منطقه دیده می شوند (شکل ۴- ج).

- **مطالعات کانی شناسی:** در این سکانس، نهشته خاکستر (نمونه B-27) (جدول ۱) مورد مطالعه پراش پرتو ایکس، قرار گرفته است. بیش از ۸۰ درصد از ترکیبات این نمونه، کانی اسمکتیت و حدود ۲۰ درصد را کانی پلازیو کلاز تشکیل می دهند.

۴- ۲. توالی آتششانی دوم (Sequence 2)
- **مطالعات صحرایی:** موقعیت این توالی در شکل ۱- ب و واحدهای تشکیل دهنده آن در شکل ۱- ج نشان داده شده است. واحدهای دگرسان و نیمه دگرسان شده در سینه کارهای فعل محلوده معدنی مؤمن آباد و اطراف آن مورد مطالعه قرار گرفتند. (شکل های ۴، ۵، ۶، ۷ و ۸).

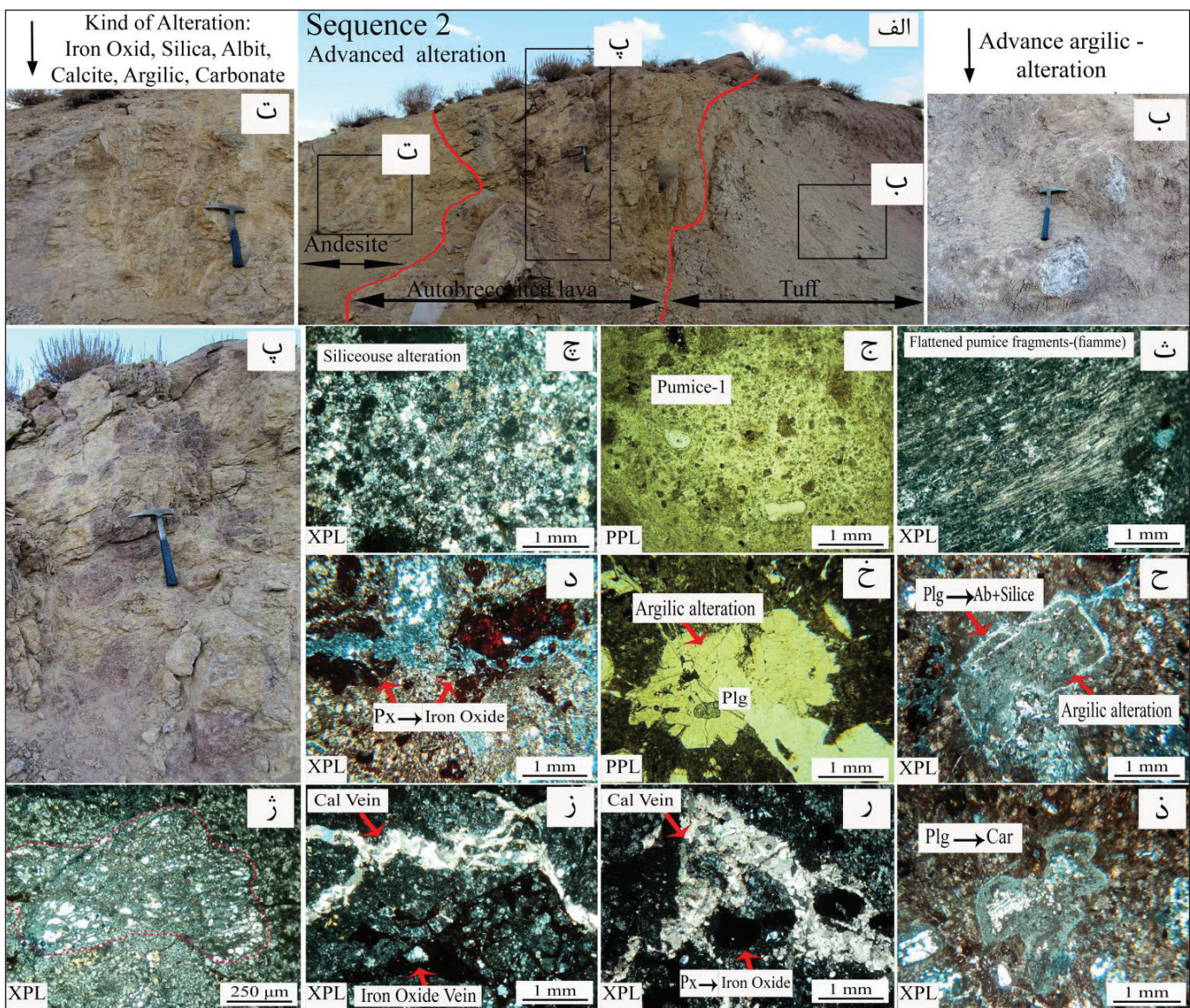


شکل ۴- الف) نمای کلی از واحدهای دگرسان شده مربوط به توالی دوم؛ ب) دگرسانی کلریتی در پیروکسن آندزیت؛ ت و ث) دگرسانی کلریتی در ریولیت های پرلتی، ج) رگه- رگجه های سیلیسی؛ چ) دگرسانی کربناتی؛ ح) دگرسانی رسی؛ خ) دگرسانی کلریتی در کانی پلازیو کلاز و خمیره؛ د) در کانی پیروکسن در پیروکسن آندزیت.

میان پرلیت و بنتونیت‌ها، میانبارهایی از سنگ داسیت و ریوداسیت دیده می‌شود (شکل ۸-ت). این لایه توسط کلاهک آندزیتی (Andesite Cap) پوشیده شده است (شکل‌های ۸-الف و ب).

- مطالعات سنگنگاری: واحدهای نیمه دگرسان شده توف و پامیس توف‌های داسیتی-ریوداسیتی، آثار دگرسانی‌های رسی پیشرفت، کربناتی شدن و سیلیسی شدن را نشان می‌دهند (شکل‌های ۴-ج و ۵-ج). در این واحدهای کانی‌های رسی جانشین قطعات پامیس کشیده و پامیس‌های خفره‌دار و موجب رخنمون دگرسانی رسی شده‌اند (شکل‌های ۵-ث و ج). در پیروکسن آندزیت دگرسانی کلریتی دیده می‌شود، به طوری که تمامی شیشه خمیره و کانی‌ها به کلریت تبدیل شده‌اند (شکل‌های ۴-ث، خ و د). در گدازه‌های خودبرُشی، دگرسانی‌های پیشرفت کربناتی، کلسیتی شدن، هماتیتی شدن و تشکیل کوارتر ثانویه دیده می‌شود (شکل‌های ۵-ر، ز و ز'). کانی‌های حاصل از دگرسانی در آندزیت‌ها شامل اکسیدهای آهن، سیلیس، آلتیت، کلسیت، کربنات و کانی‌های رسی می‌باشد (شکل‌های ۵-ح، خ، د و ذ).

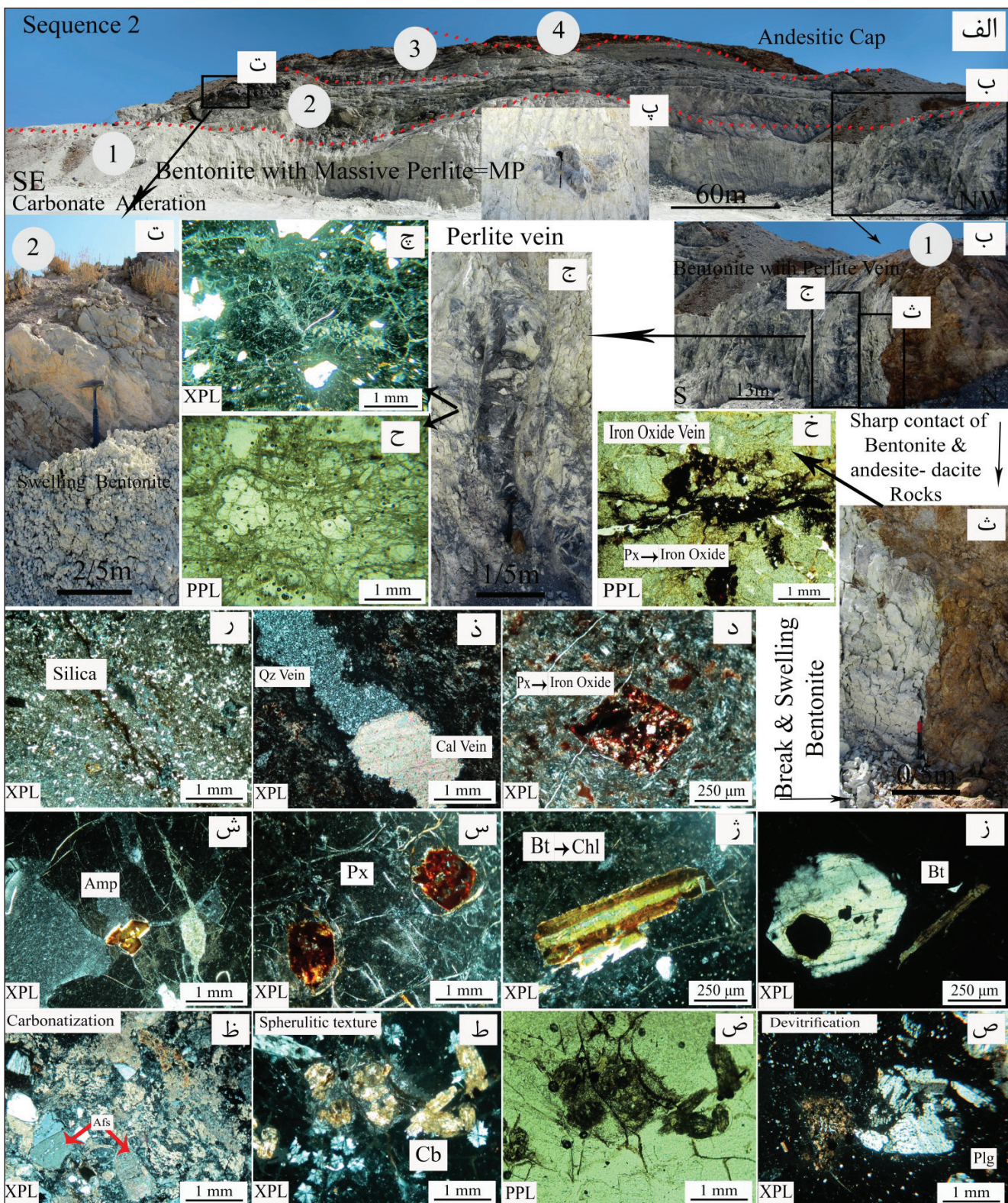
واحدهای تفکیک نشده دگرسانی شده Eo^{br} و Om^{pr} در معدن مؤمن‌آباد در چهار لایه مورد مطالعه قرار گرفته‌اند (شکل‌های ۶، ۷ و ۸). در پایین ترین لایه، بنتونیت‌های لایه‌ای و رگه‌های پرلیتی و پرلیت توده‌ای (MP) دیده می‌شوند (شکل‌های ۶-الف، ب، پ، ث و ج). بنتونیت‌ها ویژگی‌های ظاهری خشک شده، انقباض یافته و شکسته شده نشان می‌دهند (شکل ۶-ث). در لایه دوم، رخساره‌هایی از جنس داسیت و ریوداسیت، با دگرسانی‌های پیشرفت‌هایی از نوع کربناتی شدن و رسی دیده می‌شود (شکل ۶-ت). لایه سوم، شامل بنتونیت‌های سفید (WB) در اطراف گسل و بنتونیت‌های سبز روشن تا تیره (GB) در نتیجه دگرسان شدن ریولیت‌های پرلیتی می‌باشد (شکل ۷-الف تا ت). بنتونیت‌های سفید لایه چهارم به سختی از پرلیت‌های با دگرسانی‌های شدید (HAP) قابل تفکیک هستند. پرلیت‌ها به سه شکل پرلیت‌های عدسی شکل (LP)، توده‌ای و رگه‌ای (VP) به صورت میان لایه‌ای بسیار نازک همراه با بنتونیت هستند (شکل ۸-الف). سنگ میزان ریولیت پرلیتی در اثر دگرسانی‌های به صورت رگه‌های در حال تبدیل شدن به بنتونیت می‌باشد (شکل ۸-پ). در



شکل ۵-الف، ب، پ و ت) دگرسانی‌های پیشرفت دیاژنیک و هیدرولترمال در توف، گدازه‌های خودبرُشی و واحدهای آندزیتی دگرسان شده مربوط به توالی دوم؛ ث) فیامهای پامیسی جانشین شده با کانی رسی؛ ج) پامیس‌های کروی با دگرسانی رسی؛ ج) دگرسانی سیلیسی در توف؛ ح) دگرسانی پلازیوکلاز به آلتیت در حاشیه و سیلیس نهان بلور در مرکز؛ خ) دگرسانی رسی پلازیوکلاز؛ د) دگرسانی و جایگزینی پیروکسن با اکسید آهن؛ ذ) دگرسانی پلازیوکلاز به کربنات در گدازه‌های خودبرُشی؛ ز) تشکل کوارتر به صورت ثانویه.

و دگرسان شده به کلریت، پیروکسن‌های دگرسان شده به اکسید آهن، آمفیول، لوکوکسین و خمیره حاوی کربنات و بافت‌های اسفوولیت (زئولیت) است (شکل‌های ۶-ز، ۷، س، ش، ص، ض و ط). در توف‌های داسیتی- ریوداسیتی، دگرسانی کربناتی شدن به گونه فراگیر تمام خمیره و بلورها را در بر گرفته است (شکل ۶-ظ).

سنگ‌های داسیت و ریوداسیت دگرسانی رسی پیش‌رفته، اکسید آهن و سیلیسی و کربناتی شدن را نشان می‌دهند (شکل‌های ۶-خ، د، ذ و ر). ریولیت‌های پرلیتی با بافت‌های پرلیتی (شکل‌های ۶-ج و ح) تحت فرایند تبلور شیشه آشفشنانی به بتونیت تبدیل شده‌اند (شکل‌های ۶-چ و ص). ترکیب این پرلیت‌ها شامل بیوتیت‌های سالم



شکل ۶-الف) نمای کلی از لایه اول و دوم مربوط به توالی دوم؛ ب) رگه‌های پرلیتی؛ ت) توذه پرلیتی؛ پ) رگه‌های پرلیتی؛ ب) رگه‌های پرلیتی؛ ب) رگه‌های اکسید آهن؛ د) دگرسان شدن کانی‌های مافیک به اکسید آهن؛ ذ) رگه کوارتز- کربنات؛ ر) تبلور شیشه آشفشنانی در خمیره؛ ز) بیوتیت؛ ژ) دگرسانی بیوتیت به کلریت؛ س) دگرسانی پیروکسن به اکسید آهن؛ ش) هورنبلند؛ ص و ض) لوکوکسین؛ ط) کربنات و بافت اسفوولیتی در زئولیت؛ ظ) کربناتی شدن شدید توف.

کاهش می‌یابد و برعکس؛ که نشان از جانشین شدن آنها به جای یکدیگر می‌باشد. در نمونه‌های -90، B-87، B-85، B-51، P-53، BT-27، P-46 و WBT-28، میزان CaO از 2.89 تا 8.1 درصد و میزان Na_2O از 0.96 تا 2.75 متغیر هستند و نشان از بتنویت‌های نوع کلسیمی در منطقه دارد. میزان Na_2O می‌تواند وابسته به درجه دگرسانی شیشه‌های آتششکانی، فلذسپارها و مقاومت پایین این کانی در برابر محلول‌های بتنویتی باشد. در نمونه‌های -55، P-55، B-94، B-10، P-09، V-86 و P-93، میزان CaO از 0.66 تا 1.5 درصد و میزان Na_2O از 2.09 تا 3.41 متغیر است و نشان از بتنویت‌های نوع سدیمی در منطقه دارد. بر این اساس کانسراهای بتنویتی در منطقه مورد مطالعه از نوع سدیمی- کلسیمی هستند. میزان MgO نیز با میزان کلسیم رابطه مستقیم دارد، به طوری که با کاهش کلسیم در رس‌های بتنویتی، میزان میزین نیز کاهش و میزان Na_2O افزایش می‌یابد و برعکس. به نظر می‌رسد که این ذخیره بتنویتی غنی شدگی قابل توجهی از Fe_2O_3 نشان نمی‌دهد. اما در صورت وجود به میزان خیلی کم، می‌توان آن را به حضور اکسیدها و هیدرواکسیدهای آهن در بتنویت نسبت داد.

۶- دگرسانی

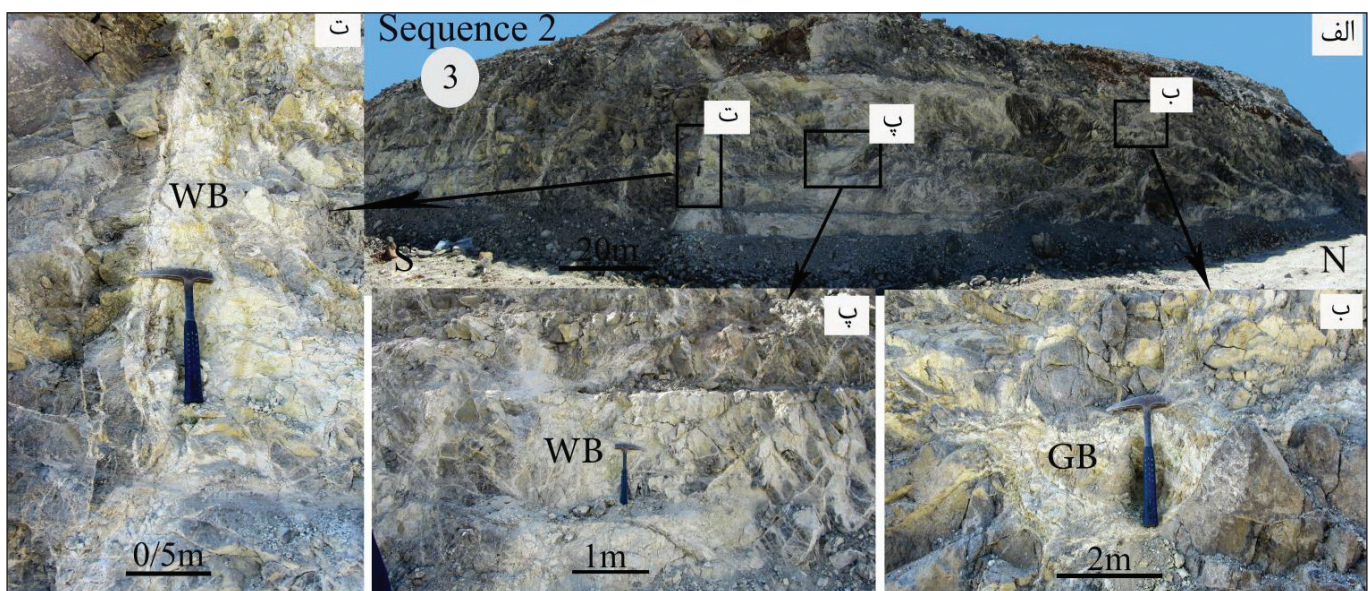
۶.۱- دگرسانی دیاژنیک

با توجه به مطالعات کانی‌شناسی، حضور کریستوبالیت و کوارتز و به عنوان کانی اصلی، نشان می‌دهد که سیلیس به خوبی از محیط شسته نشده است. با توجه به گردایان دمایی بالا و وجود سیستم باز در منطقه (نماینده و همکاران، ۱۳۹۴ و ۱۳۹۱)، نرخ جریان سیال پایین بوده و منجر به تشکیل کانسرا بتنویت با محظوظی کریستوبالیت و کوارتز بالا شده است. از آنجایی که زئولیت به عنوان کانی فرعی دیده می‌شود، می‌توان گفت که آب‌شویی عناصر قلایی نسبت به سیلیس بیشتر بوده و تشکیل اسمکتیت اتفاق افتد. بنابراین با توجه به مقدار بالای کانی اسمکتیت، لایه‌ای بودن کانسرا (شکل‌های ۷ و ۸) و نبود زئولیت به عنوان کانی اصلی، دگرسانی دیاژنیک در منطقه مشاهده می‌شود.

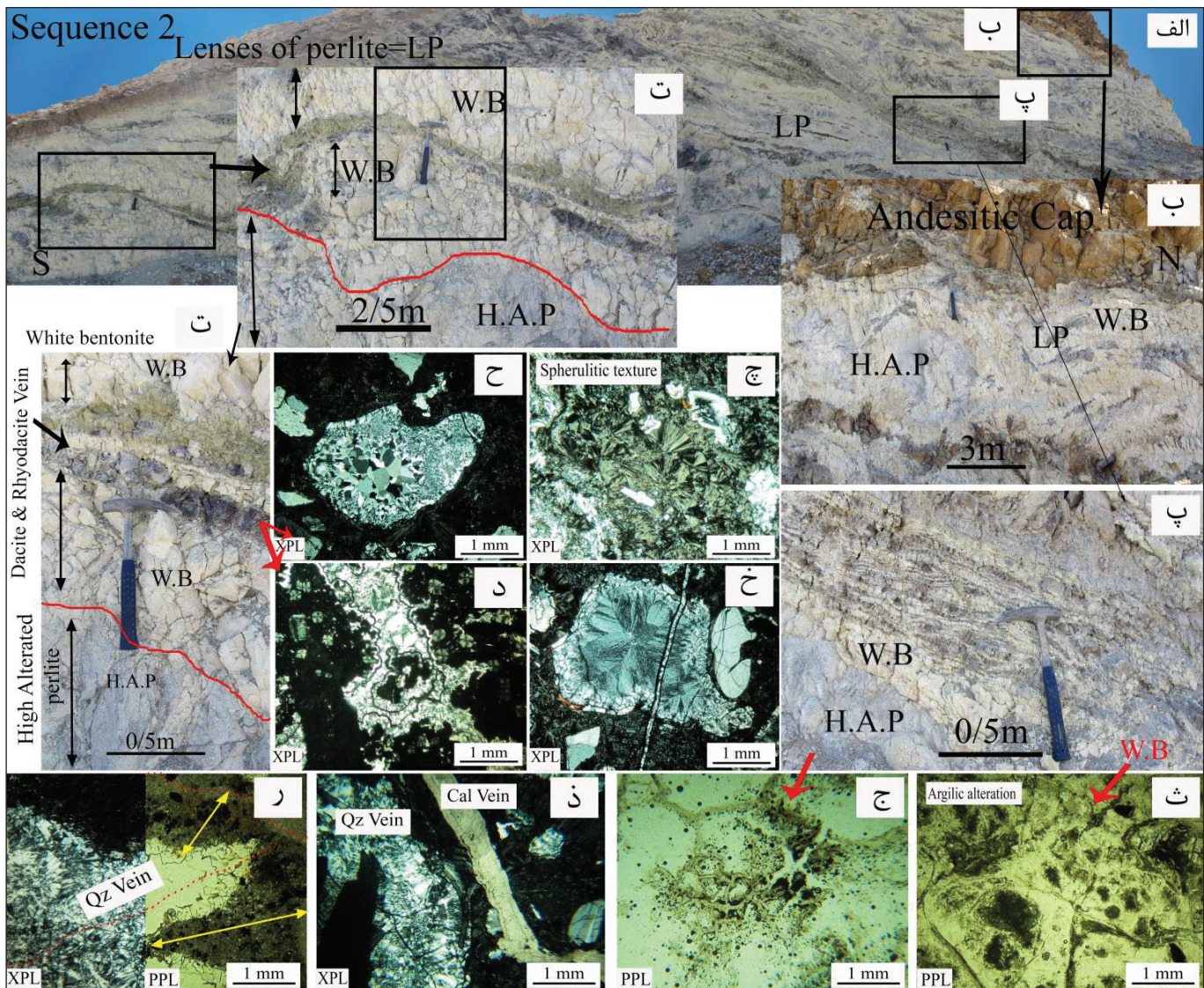
بتنویت‌های سفید آثار دگرسانی رسی پیشرفتی را نشان می‌دهند (شکل ۸-ث). رکهای پرلیتی (HAP) توسط کانی رسی اسمکتیت جانشین شده اند (شکل ۸-ج). میانبارهای داسیت- ریوداسیت، حاوی رگهای سیلیسی و بافت‌های اسفوولیتی پرکننده خفرات از جنس سیلیس و فلذسپار قلایی می‌باشد (شکل‌های ۸-چ تا ر). **- مطالعات کانی شناسی:** در این توالی نمونه‌های ۵، B-04، B-07، B-10، B-85، B-12، P-55، B-94، P-81 و V-81 مورد مطالعه پراش پرتو ایکس قرار گرفته‌اند. اسمکتیت، کریستوبالیت، فلذسپار قلایی (آلیت، آنورتیت و ساندین)، و ژپس به عنوان کانی‌های اصلی و کلسیت، هماتیت، هولاندیت، کلینوپیتلولیت، کانولینیت، ایلیت، هالیت و کوارتز کانی‌های فرعی بتنویت‌ها هستند (جدول ۱).

۵- رفتار عناصر اصلی طی بتنویت‌زایی

در نمونه‌های مورد مطالعه میانگین محتوای SiO_2 در نمونه‌ها از 52.8 تا 72.02 تا 8.57، Al_2O_3 از 0.66 تا 8.1 و CaO از 0.96 تا 3.41 و K_2O از 0.29 تا 0.83 درصد در تغییر است. با توجه به مطالعات زمین شیمیایی و XRD انجام شده، افزایش سیلیس از نوع کریستوبالیت و کوارتز و کاهش میزان کاتیون‌ها، نشان می‌دهد که سیلیس در حین آب‌شویی و دگرسانی مهاجرت نکرده است، اما عناصر قلایی بیشتر دچار آب‌شویی و مهاجرت شده‌اند. در نتیجه کانی رسی اسمکتیت تشکیل شده است. میزان LOI نمونه‌های منطقه مؤمن‌آباد از 5.11 تا 11.3 درصد متغیر است. با افزایش محتوای Al_2O_3 میزان LOI نیز در منطقه افزایش پیدا می‌کند. میزان Al_2O_3 با میزان LOI و کانی‌زایی رسی رابطه مستقیم دارد. این موضوع نشانه همگن نبودن نمونه‌های بتنویتی در منطقه می‌باشد. با توجه به مطالعات کانی‌شناسی، میزان Al_2O_3 به طور مستقیم به حضور آلیت در بتنویت‌ها وابسته است. به طوری که در نمونه B-85، پلازیوکلاز از نوع آلیت دیده می‌شود و میزان Al_2O_3 با 8.88 نسبت به سایر نمونه‌ها کمتر است. در تعیین نوع اسمکتیت، کاتیون‌های Ca و Na بسیار مهم هستند (Grim and Güven, 1978). مطالعات زمین شیمیایی منطقه نشان می‌دهد که با افزایش میزان CaO نمونه Na_2O میزان



شکل ۷-الف) نمای کلی از لایه سوم مربوط به توالی دوم؛ (ب) بتنویت‌های سبز تیره در میان ریولیت‌های پرلیتی؛ (ت) بتنویت‌های سفید در اطراف گسل.



شکل ۸-الف) نمای کلی از لایه چهارم مربوط به توالی دوم با پرلیت رگه‌ای، توده‌ای و عدسی‌های پرلیت؛ ب) مرز میان کلاه آندزیتی و بنتونیتی سفید رنگ؛ پ) رگه پرلیتی در حال تبدیل شدن به بنتونیت؛ ت) میانبار داسیت-ریوداسیت؛ ث) دگرسانی رسی در ریولیت؛ ج) جانشین شدن ترک‌های پرلیتی با کانی اسپرولیتی؛ ذ) کلوئید سیلیسی؛ ذ) رگه‌های کوارتز و کلسیت؛ ر) رگه کوارتز و اکسید آهن، در میانبار داسیت-ریوداسیت.

قلیایی‌ها مثل Ca و Na در منطقه اتفاق می‌افتد، هم‌آرایی اتمی در واحدهای ساختاری شیشه آشیانی تغییر می‌کند (Christidis, 2001) و ممکن است تحمل Mg در ساختار پلاژیوکلاز افزایش یابد. Mg اضافی، سیستم را بیشتر ناپایدار می‌کند و پلاژیوکلازها حمل می‌شوند و اسماکتیت تشکیل می‌شود (Christidis et al., 1995). گدازه‌های خودبرشی از نوع گدازه‌های دما بالا نفوذ کرده در یک محیط دریابی هستند و تشکیل آنها با تبادلات گرمابی و ایجاد شکستگی‌ها و ترک خوردگی‌های بسیار زیاد همراه بوده است. این گدازه‌ها در اثر فعلیت آب‌های دریابی کم عمق تحت تأثیر دگرسانی دیاژنیک فرار گرفته‌اند.

۶-۲. دگرسانی گرمابی

علاوه بر دگرسانی ثانویه و دیاژنیک، در اثر دگرسانی گرمابی و دگرگونی‌های دما پایین و تأثیر آب‌های دریابی دگرسانی پرلیت به بنتونیت نیز دیده می‌شود (Davis and McPhie, 1996; Yıldız and Kuşçu, 2004 and 2007; Karakaya et al., 2011; Hinojosa-Prieto et al., 2016) و واضح در رخ‌خون معدن وجود بنتونیت‌های بالاترین سطح دگرسانی به رنگ سفید

پرلیت‌های ریولیتی با توجه به مورفولوژی لایه‌ای بودنشان، واحدهای مناسبی برای بنتونیتی شدن در منطقه هستند (شکل‌های ۶، ۷ و ۸). مطالعات کانی شناسی بر روی نمونه‌های پرلیتی با شدت دگرسانی بالا (نمونه ۱۰-B)، کریستوبالیت و اسماکتیت از نوع بیدلیت را به عنوان فاز کانیایی اصلی نشان می‌دهد و تأکیدی بر دگرسانی پرلیت به بنتونیت در منطقه است. پرلیت‌ها می‌توانند از طریق فرایند تبلور شیشه آشیانی و دگرسانی دیاژنیک به کانسار رسی تبدیل شوند (Gomez et al., 2009). شکل‌های ۶-ج، س و ص دگرسانی دیاژنیک و تبلور شیشه آشیانی و دگرسانی پرلیت به بنتونیت را به وضوح نشان می‌دهند.

رسی شدن شیشه و فلدسپارها از جمله درشت‌بلورهای پلاژیوکلاز در توف، خاکستر آشیانی و ایگنمنبریت‌های منطقه و جانشین شدن توسط کانی‌های رسی مثل اسماکتیت زمانی که با ترکیبات و بافت‌های و بافت‌های کانی کلاسیتیک مثل پامیس و تراشه‌های شیشه‌های آشیانی و بلورهایی با منشأ آشیانی همراه هستند (شکل‌های ۲-ج و خ، ۴-ح، ۵-و، ۶-ج) می‌توانند در نتیجه دگرسانی دیاژنیک در منطقه رخ دهد (Yalçın and Gümüşer, 2000; Çiflikli et al., 2013). زمانی که شستشوی

۷- نتیجه‌گیری

منطقه مؤمنآباد در جنوب خاوری بیرجند و شمال خاوری سربیشه، در زون زمین درز سیستان قرار گرفته است. بتونیت‌های این منطقه عدسی‌های متوسط و کوچک‌مقیاسی هستند. با توجه به مطالعات زمین شیمیایی و کانی‌شناسی این بتونیت‌ها از نوع سدیمی-کلسیمی می‌باشند. شواهدی مانند افزایش سیلیس و کاهش کاتیون‌های قلیایی، افزایش Na_2O و کاهش CaO و بر عکس افزایش Mn با افزایش Al_2O_3 با افزایش LOI و بر عکس، نشان دهنده ناهمنگ بودن بتونیت‌ها هستند. مطالعات کانی‌شناسی اسمکتیت، کریستوبالیت، فلدسپار قلیایی (آلیت، آنورتیت و سانیدین) و ژپس را به عنوان کانی‌های اصلی و کلسیت، هولاندیت، کلینوپیتیولیت، کائولینیت، آلیت، هالیت و کوارتز را به عنوان کانی‌های فرعی تشکیل دهنده بتونیت‌ها نشان می‌دهند. این منطقه با توجه به عملکرد سامانه گسلی با امتداد شمال باختری-جنوب خاوری و جابه‌جایی‌های امتداد‌لغز، بستری مناسب برای چرخش سیالات گرمابی هستند. در این پژوهش مطالعات صحرایی، سنگ‌نگاری، زمین شیمیایی و کانی‌شناسی، دگرسانی دیاژنیک و گرمابی که در دو توالی آتشفشنای بررسی شده است نشان داد که: ۱) آب شویی قلیایی نسبت به سیلیس بیشتر و محیط باز بوده و اسمکتیت به میزان زیادی تشکیل شده است، ۲) بتونیت‌ها حالت لایه‌ای دارند و در یک محیط دریایی کم عمق تشکیل شده اند، ۳) شیشه و فلدسپار در واحدهای آذرآواری مانند پامیس و توف‌ها رسی شده‌اند، ۴) در نتیجه تبلور شیشه آتشفشنای پرلیت به بتونیت دگرسان شده است و ۵) با توجه به شرایط تشکیل و فوران در محیط دریایی گدازه‌های خودبُرشی دگرسان شده‌اند؛ لذا می‌توان نتیجه گرفت که دگرسانی دیاژنیک در منطقه مؤمن‌آباد حضور دارد. اما با توجه به شواهدی مانند: ۱) رسی‌شدن شیشه، فلدسپار و بلورهایی با منشا آتشفشنای در واحدهای آتشفشنای مثل آندزیت، پیروکسن آندزیت، داسیت-ریوداسیت و ۲) حضور عارضه‌های ساختاری مانند گسل‌ها، درز و شکستگی در لایه سوم و تغییر رنگ بتونیت‌هایی که از دگرسانی پرلیت به رنگ سیز روشن تا تیره و سفید حاصل شده‌اند و همچنین بتونیت‌ها به رنگ صورتی کمرنگ در لایه اول که ناشی از حضور محلول‌های گرمابی و غنی از اکسید‌آهن هستند، می‌تواند گفت که دگرسانی گرمابی نیز در منطقه حضور دارد. شواهدی مانند: ۱) رگه‌های گرمابی، ۲) دگرسان شدن پلازیوکلاز به کانی‌های آلیت+ سریست و بیوتیت به کلریت، ۳) خمیره سنگ به جنس کوارتز، کلسیت، زئولیت و کلریت، ۴) رگه‌های کوارتز به صورت ریزبلور تانهان بلور و بافت‌های اسفلولیتی و شعاعی و ۵) ریوداسیت گرمابی کربنات در سنگ‌های پیروکسن آندزیت، داسیت، داسیت- ریوداسیت توف‌ها، گدازه‌های خودبُرشی و پرلیت‌های ریولیتی، نشان می‌دهند که منطقه تحت تأثیر سیالات گرمابی با pH بالا قرار گرفته است. شواهدی مانند: ۱) رگه‌های اکسید آهن، ۲) حضور واحدهای قرمز رنگ و ۳) رخنمون بتونیت‌های صورتی رنگ، نیز نشان دهنده اثر محلول‌های گرمابی غنی از آهن و منیزیم است.

بنابراین می‌توان گفت که کانسار بتونیت مؤمن‌آباد، از دگرسانی دیاژنیک بر توف، خاکستر آتشفشنای، برش ایگنمریتی و گدازه‌های خودبُرشی در یک محیط دریایی کم عمق و لاگون مانند در اثر فوران جریان‌های آذرآواری در آن به وجود آمده است. از طرف دیگر شواهد دگرسانی گرمابی حضور محلول‌های گرمابی و غنی از اکسید آهن را نشان می‌دهند. منابع انرژی گرمابی در دگرسانی گرمابی منطقه برای تشکیل بتونیت می‌تواند در نتیجه نفوذ، انتشار و چرخش آب‌های سطحی، جوی و زیرزمینی و متصاعد شدن گازهای زیرسطحی و همچنین فعل و اتفاعات آب‌های عمیق گدازه‌ای مربوط به مخازن ماقمابی و سردشدن سنگ‌های گدازه‌ای- آذرآواری باشد.

سپاسگزاری

نویسنده‌گان مقاله از داوران محترم مجله، به خاطر نظرات و پیشنهادات ارزنده‌شان تشکر و قدردانی می‌کنند.

می‌توان به نقش دگرسانی گرمابی در توده پرلیتی منطقه نیز اشاره کرد (شکل‌های ۷-الف و ت). رنگ بتونیت‌های منطقه به صورت محلی از سفید به صورتی و سبز کمرنگ تا پررنگ تغییر کرده است (شکل‌های ۷ و ۸). این تغییر رنگ، به صورت محلی ناشی از نفوذ محلول‌های گرمابی و محلول‌های غنی از Mn و Fe می‌باشد که از متابن آب‌های سطحی و جوی مهاجرت و در امتداد شکاف‌ها، شکستگی‌ها و گسل‌ها حرکت کرده‌اند (Yıldız and Kuşçu., 2004 and 2007). علاوه بر آن برای تشکیل اسمکتیت، نسبت بالای چرخش آب‌های سطحی در واحدهای سنتگی مانند پامیس و قطعات آذرآواری نیاز می‌باشد (Christidis, 2001).

رسی‌شدن شیشه و فلدسپارهای آتشفشنای مثل درشت‌بلورهای پلازیوکلاز در واحدهای آتشفشنای مانند آندزیت، پیروکسن آندزیت، داسیت- ریوداسیت (شکل‌های ۵-ح و خ) در نتیجه انتشار و غنی‌شدگی محلی از Na و K است و روند دگرسانی گرمابی در محیط‌های دریایی کم عمق را نشان می‌دهند (Christidis, 2001; Abdioğlu and Arslan, 2005; Özdamar et al., 2014).

دگرسانی گرمابی در سامانه آبی ترمال منطقه به صورت برهم کنش سیالات با pH خنثی بوده است (Pirajno, 2009). کلریت جزو مجموعه کانی‌های دگرسانی کانسار اپی‌ترمال با سولفیدی شدن ضعیف تا قوی در دگرسانی رسی پیشرفتة تا حد واسطه مطرح می‌باشد (Gifkins et al., 2005). از این رو، ورود محلول‌های گرمابی به سنگ‌های اسیدی تا حد واسطه منطقه باعث دگرسانی کانی‌های مافیک و آزاد شدن عنصری مانند Na ، Ca و Mg می‌شود که بخشی از این عناصر در ساختار کلریت به کار گرفته می‌شوند (شکل ۴).

مجموعه دگرسانی متداول در ارتباط با سیالات گرمابی ژرف و سیالات نزدیک سطح غنی از CO_2 که با سنگ دیواره واکنش می‌دهند، شامل مجموعه کانیهای زیر در منطقه می‌باشد (Pirajno, 2009): ۱) رگه‌های گرمابی از نوع رگه‌های کوارتز و کربنات و دیگر ته نشسته‌های سیلیکاتی مانند کلسیت، کربنات، زئولیت و کلریت است. رگه گرمابی نوع کوارتز به صورت ریز تا نهان‌بلور و همچنین به صورت بافت‌های اسفلولیتی و شعاعی غنی از سیلیس و فلدسپار قلیایی با هسته مرکزی از کوارتز و فلدسپار قلیایی و بدون هسته مرکزی و کلوییدی دیده شده است (شکل‌های ۸-ح، خ، د، ذ و ر؛ ۲) کانی‌های آلیت+ سریست که از دگرسان شدن پلازیوکلازهای اولیه حاصل شده‌اند (شکل ۵-ح؛ ۳) بیوتیت در ریولیت‌ها شدن که به کلریت تبدیل شده است (شکل ۶-ر-ژ؛ ۴) خمیره سنگ که به کانی‌های مانند کوارتز، کلسیت، زئولیت و کلریت دگرسان شده است (شکل‌های ۴-خ و د-۶، ر، چ و ط).

هراهی زئولیت با کانسارهای بتونیت در بسیاری از نقاط دنیا امری متداول است (Grim and Güven, 1978). زمانی که نسبت $\text{Na}^+/\text{K}^+/\text{H}^+$ بالا باشد، به جای بتونیت، زئولیت به وجود می‌آید (Yıldız and Kuşçu, 2004). در منطقه مؤمن‌آباد، با توجه به نسبت کم قلیایی‌ها، زئولیت نمی‌تواند به عنوان فاز کانیابی اصلی تشکیل شود. در مطالعات سنگ‌نگاری (شکل ۶-ط) و کانی‌شناسی، زئولیت از نوع هولاندیت و کلینوپیتیولیت (جدول ۱) به عنوان فاز فرعی دیده می‌شود. در سنگ‌های دیواره استوک ریولیتی، حضور زئولیت، ناشی از فاز دگرسانی هیدروترمال است (Takagi et al., 2005). بنابراین حضور زئولیت را می‌توان مرتبط به فاز دگرسانی هیدروترمال در منطقه دانست.

حضور رگه‌های کربناتی همراه با رگه‌های اکسید آهن در گدازه‌های خودبُرشی (شکل‌های ۵-ر و ز)، رخنمون واحدهای گدازه‌ای- آذرآواری قرمز رنگ مانند واحدهای آندزیت‌های قرمز (شکل‌های ۲-ت و ذ) و واحد هیالوآندزیت‌ها (شکل‌های ۳-ت، ۳-و، چ و چ) و پیدایش بتونیت قرمز رنگ سرشار از اکسید آهن، مؤثر بودن محلول‌های گرمابی غنی از آهن و منیزیم را نیز در دگرسانی منطقه نشان می‌دهند.

کتابنگاری

حجازی، م. و قربانی، م.، ۱۳۷۳- بتونیت- زئولیت. سازمان زمین شناسی کشور، ۶۷ ص.

کاوشگران، ۱۳۹۴- گزارش عملیات اکتشافی و ارزیابی ذخیره زمین شناسی در مقیاس ۱:۱۰۰۰ محدوده معدن بتونیت مؤمن آباد. نماینده، ع. ر.، مدبری، س. و رنجبران، م.، ۱۳۹۱- بررسی کانی شناسی و زمین شیمی معدن بتونیت چاه گلستان سرایان، خراسان جنوبی. زمین شناسی کاربردی پیشرفته، شماره پنجم، صص. ۷۹ تا ۶۹.

نماینده، ع. ر.، مدبری، س. و رنجبران، م.، ۱۳۹۴- مطالعات کانی شناختی و زمین شیمیایی در تعیین شرایط تشکیل و زایش معدن بتونیت خالکوه فردوس، خراسان جنوبی. پترولوژی، سال ششم، شماره بیست و یکم، صص. ۱۹ تا ۳۴.

References

- Abdioğlu, E. and Arslan, M., 2005- Mineralogy, geochemistry and genesis of bentonites of the Ordu area, NE Turkey. *Clay Minerals* 40: 131-151.
- Caballero, E., Jimanez de Cisneros, C., Huertas, F. J., Huertas, F., Poszuoli, A., Linares, J., 2005- Bentonites from Cabo de Gata, Almeria, Spain: a mineralogical and geochemical overview. *Clay Minerals* 40: 463-480.
- Camp, V. E. and Griffis, R. J., 1982- Character, genesis and tectonic setting of igneous rocks in the Sistan suture zone, eastern Iran. *Lithos* 15: 221-239.
- Christidis, G. E., 2001- Formation and growth of smectites in bentonites: A case study from Kimolos Island, Aegean, Greece. *Clays and Clay Minerals* 49: 204-215.
- Christidis, G. E., and Huff, W. D., 2009- Geological aspects and genesis of bentonites. *Elements* 5: 93-98.
- Christidis, G. E., Scott, P. W. and Marcopoulos, T., 1995- Origin of the bentonite deposits of Eastern Milos, Aegean, Greece: geological, mineralogical and geochemical evidence. *Clays and Clay Minerals* 43: 63-77.
- Çiflikli, M., Çiftçi, E., Bayhan, M., 2013- Alteration of glassy volcanic rocks to Naand Ca-smectites in the Neogene basin of Manisa, western Anatolia, Turkey. *Clay Minerals*, 48: 513-527.
- Davis, B. K. and McPhie, J., 1996- Spherulites, quench fractures and relict perlite in a Late Devonian rhyolite dyke, Queensland, Australia: *Journal of Volcanology and Geothermal Research* 71: 1-11.
- Ddani, M., Meunier, A., Zahraoui, M., Beaufort, D. E., Wartiti, M., Fontaine, D., Boukili, B. E. and Mahi, B., 2005- Clay mineralogy and chemical composition of bentonites from the Gourougou volcanic massif (northeast Morocco). *Clays and Clay Minerals* 53: 250-267.
- Elzea, J. and Murray, H. H., 1994- Clays: Bentonite. In: Carr DD (ed) *Industrial Minerals & Rocks*, 6th edition. SME Littleton Co., pp 233- 246.
- Gifkins, C., Hermann, W. and Large, R., 2005- Altered Volcanic Rocks: A Guide to Description and Interpretation. Centre for Ore Deposit Research (CODES), University of Tasmania, Australia, 275 pp.
- Gomez, C., Cravero, F., Luna, L. and Garrido, M., 2009- Alteration processes in the Maliman (hipo) bentonite deposit. Andean Precordillera, San Juan, Argentina. *Pesquisas em Geociências* 36: 283-293.
- Grim, R. and Güven N., 1978- Bentonite: geology, mineralogy, properties and uses. *Developments in Sedimentology*, 24. New York. Elsevier. 256 pp.
- Hinojosa-Prieto, H. R., Vidal-Solano, J. R., Kibler, K. W. and Hinojosa-García, H. J., 2016- Geology of the Selene perlite deposit in the northern Sierra Madre Occidental, northeastern Sonora, Mexico, *Boletín de la Sociedad Geológica Mexicana* 68: 129-163.
- Hosterman, J. W. and Patterson, S. H., 1992- Bentonite and fuller's earth resources of the United States. US Geological Survey Professional Paper, 1522: 45 pp.
- Karakaya, M. Ç., Karakaya, N. and Temel, A., 2011- Mineralogical and geochemical Characteristics and Genesis of the Sepiolite Deposits at Eposits at Polatlı Basin (Ankara, Turkey). *Clays and Clay Minerals* 59: 286-314.
- Nazari, H. and Salamati, R., 1999- Geological map of Sarbisheh (1/100000), Sheet 7955 Geological survey of Iran.
- Özdamar, Ş., Ece, Ö. I., Uz, B., Boylu, F., Ercan, H. Ü. and Yanık, G., 2014- Element mobility during the formation of the Uzunisa-Ordu bentonite, NE Turkey, and potential applications. *Clay Minerals* 49: 609-633.
- Pang, K. N., Chung, S. L., Zarrinkoub, M. H., Khatib, M. M., Mohammadi, S. S., Chiu, H. Y., Chu, C. H., Lee, H. Y., Lo, C. H., 2013- Eocene-Oligocene post-collisional magmatism in the Lut-Sistan region, eastern Iran: Magma genesis and tectonic implications. *Lithos* 180-181: 234-251.
- Pang, K. N., Chung, S. L., Zarrinkoub, M. H., Mohammadi, S. S., Yang, H. M., Chu, C. H., Lee, H. Y. and Lo, C. H., 2012- Age, geochemical characteristics and petrogenesis of Late Cenozoic intraplate alkali basalts in the Lut-Sistan region, eastern Iran. *Chemical Geology* 306-307: 40-53.
- Pirajno, F., 2009- Hydrothermal Processes and Mineral Systems. Springer. 1250 PP.
- Stocklin, J., 1968- Structural history and tectonics of Iran: a review. *Amer. Assoc. petrol. Geol* 1229-1258.
- Takagi, T., Koh, S. M., Song, M. S., Itoh, M. and Mogi, K., 2005- Geology and properties of the Kawasaki and Dobuyama bentonite deposits of Zao region in northeastern Japan. *Clay Minerals* 40: 333- 350.

- Tirrul, R., Bell, I. R., Griffis, R. J. and Camp, V. E., 1983- The Sistan suture zone of eastern Iran. Geological Society of America Bulletin 94: 134-150.
- Yalçın, H. and Gümüşer, G., 2000- Mineralogical and geochemical characteristics of Late Cretaceous bentonite deposits of the Kelkit Valley Region, Northern Turkey. Clay Minerals 35: 807-825.
- Yıldız, A. and Dumluçinar, İ., 2009- Mineralogy and geochemical affinities of bentonites from Kapıkaya (Eskis_ ehir, western Turkey). Clay Minerals 44: 339-360.
- Yıldız, A. and Kuşçu, M., 2004- Origin of the Basoren (Kutahya,W Turkey) bentonite deposits. Clay Minerals 39: 219-231.
- Yıldız, A. and Kuşçu, M., 2007- Mineralogy, chemistry and physical properties of bentonites from Ba,sören, Kütahya, W. Anatolia, Turkey. Clay Minerals 42: 399-414.

The study of diagenetic and hydrothermal alteration in the volcanic sequence of Momen-abad (North- East of Sarbisheh, Birjand) and their roles in non-metallic mineralization

S. Tarabi^{1*}, M. H. Emami², S. Modaberi³ and S. J. Shaykh Zakariaee⁴

¹Ph.D. Student, Department of Geology, Islamic Azad University, Science and Research Branch, Tehran, Iran

²Associate Professor, Department of Geology, Islamic Azad University, Eslam Shahr Branch, Eslam Shahr, Iran

³Assistant Professor, School of Geology, College of Science, Tehran University, Tehran, Iran

⁴Assistant Professor, Department of Geology , Islamic Azad University, Science and Research Branch, Tehran, Iran

Received: 2017 November 14

Accepted: 2018 March 11

Abstract

Momen-abad area, in the southeast of Birjand and the northeast of Sarbisheh, is located in the Sistan-Zemestan zone. Based on the field studies, petrography, geochemical (XRF) and X-ray diffraction (XRD) in two volcanic sequences, the alteration conditions in the area have been investigated. According to mineralogy and chemical studies, bentonites are sodium-calcium and heterogeneous. Mineralogy findings indicate that smectite minerals, cristobalite and quartz, alkaline feldspars (albite and anorthite and sanidine), gypsum, calcite, hematite, holandite, klinoptiolite, kaolinite, illeite, and halite minerals form bentonites. In the first sequence, the effects of argillic and iron oxide alterations and in the second sequence, the effects of alteration of argillic, carbonate, chlorite, calcite, albite, silicification and iron oxide are found. Altered units which are related to the second sequence in four layers include Rhyolytic perlites of the vein, masses, lenses; white bentonites and green; Rhyodacite and dacite with the effects of alteration of devitrification, and the alteration of perlite to bentonite, advanced argillic and silicification. In addition, the composition textures of lava-pyroclastic, devitrification and the alteration of perlite to bentonite due to diagenetic alteration are found out. Glass argillization and feldspars in volcanic units, and the alteration of plagioclase to albite + sericit, biotite to chlorite, stone to quartz, calcite, zeolite and chlorite in perlites, iron oxide veins and red unit are found out in the sequences. Moreover, the change color of bentonite in the region related to alteration hydrothermal, and the presence of fluids and iron-magnesium-rich solutions are obvious in these sequences.

Keywords: Diagenetic alteration, Bentonite, Sodium- calcium, Argillic alteration, Momen-abad, Birjand.

For Persian Version see pages 163 to 174

*Corresponding author: S. Tarabi; E-mail: sahartarabi50@yahoo.com